

I-3 曲線げた橋の有効幅に関する研究

大阪市立大学 正員 中井 博
大阪大学 学生員 北田 俊行

1. まえがき

曲線げた橋では、スパンに比し幅員が広くなると、直線げた橋と同様に shear lag 現象が生じ、フランジ内の垂直応力分布は、権理論によるものと著しく相違する。本文は、著者等が以前に発表した研究を曲線げた橋に拡張し、曲線げた橋の shear lag 現象を薄肉構造物の特長を十分考慮して解析し、さらに曲線げた橋の有効幅を求めたものである。

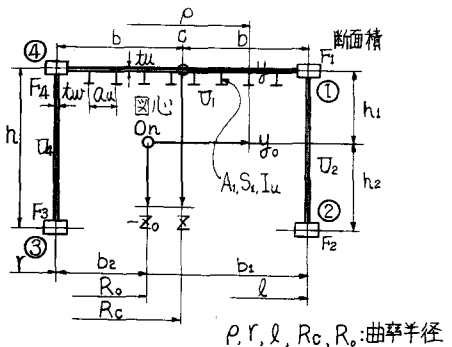
図-1. 曲線げた橋断面

2. 基礎式

解析の対象とした曲線げた橋は、図-1に示す断面を有するものとする。なお、理論上の仮定・記号は、文献2)を参照されたい。

まず、曲線げた橋を構成する各板要素についての基礎式を求めると、たとえば、上フランジプレートに関しては、次式を得る。

$$E \frac{\bar{t}_u}{t_u} \frac{R_o}{g} \frac{\partial^2 u_1}{\partial g^2} + G \frac{g}{R_o} \frac{\partial^3 u_1}{\partial g^3} + 2 \frac{G}{R_o} \frac{\partial u_1}{\partial g} = 0 \quad \dots (1)$$



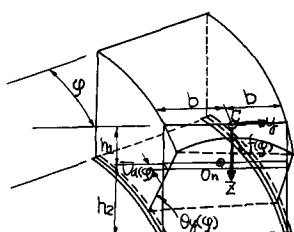
P, R, l, R0, R0: 曲率半径

ただし、E: ヤング率, G:せん断弾性係数, U_i : フランジプレートの軸方向変位, \bar{t} : フランジプレートの厚さ, t_u : リブを考慮したフランジプレートの換算厚さ, その他は図-1 参照, 式(1)と同様な式を腹板などに用いても求められる。

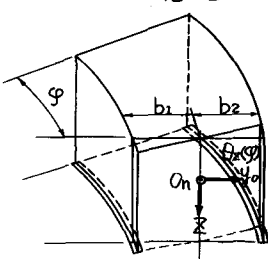
つぎに、式(1)の厳密解は数値解となり、繁雑であるので、各板の軸方向変位は、文献1)を参照にして、式(2)のように仮定する。すなむち、図-1 の断面は左右非対称であるので、主軸は水平軸や鉛直軸と一致しない。しかし、変形状態や応力状態を求める際の基準軸として、水平軸と鉛直軸(y, z)をとれば、図-2 に示すように軸方向変位は、2つのものが合成されたものと考えることができます。

図-2 曲線げた橋の軸方向変位

状態 A



状態 B



によつて生ずる変位とする。

以上の4つの未知量 $\theta_y, \theta_z, u_0, f$ を断面力と外力とのつり合い、および、Galerkin 法を適用し

$$\left. \begin{aligned} u_1 &= u_0 + (h_1 - z) \theta_y + (1 - y^2/b^2) f \\ u_2 &= u_0 + z_0 \theta_y + b_1 \theta_z \\ u_3 &= u_0 + z_0 \theta_y - b_2 \theta_z \end{aligned} \right\} \dots (2)$$

ここに、 u_0 : shear lag によって生ずる図心の軸方向変位, θ_y, θ_z : y, z 軸に沿つたねみ角, f : フランジプレート内に shear lag

て求めると、つきの基礎微分方程式を得る。

$$\left. \begin{aligned} F \cdot dU_0/ds + A_u \cdot df/ds &= 0 \\ I_{y_1} \cdot d\theta_y/ds + I_{y_3} \cdot d\theta_3/ds + S_y \cdot df/ds + M_y/E &= 0 \\ I_{y_3} \cdot d\theta_y/ds + I_y \cdot d\theta_3/ds + S_3 \cdot df/ds &= 0 \\ F_{fu} \cdot d^2f/ds^2 + S_y \cdot d^2\theta_y/ds^2 - 8Gt_u R_c / (3E b R_c) \cdot f &= 0 \end{aligned} \right\} \quad \dots (3)$$

これらの微分方程式は、常微分方程式であり、かく容易に変数分離することができるので、未知量を直ちに解くことができ、また、この解より曲線げた橋のたわみ、ねじり角を求めることができる。

3. 數値計算例

大阪市にて建設された長柄バイパス曲線橋をモデルとして、上フランジプレートの shear lag による垂直応力分布の數値計算を行なつたものを、図-3 に示す。

ただし、断面常数は $b = 2.25 \text{ m}$,

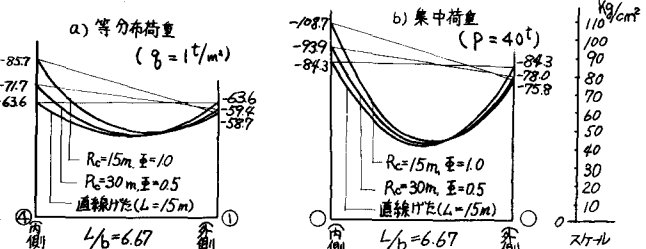
$$F_1 = F_4 = 200.0 \text{ cm}^2, F_2 = F_3 = 30.0 \text{ cm}^2$$

$$A_u = 30.0 \text{ cm}^2, A_t = 21.1 \text{ cm}^2, S_i = 234.0 \text{ cm}^3$$

$$I_u = 2.121 \times 10^4 \text{ cm}^4, h = 2.0 \text{ m}, t_u = 1.2 \text{ cm}$$

$$t_w = 0.9 \text{ cm} \text{ とする。}$$

図-3 フランジプレート内の垂直応力分布



4. 曲線げた橋の有効幅

図-5 に示すように、曲線げた橋の有効幅、 $b_{m,l}$ 、 $b_{m,n}$ を定義する。

すなはち、

$$\int_{-b}^{-b+b_{m,l}} \bar{\sigma}_u dy = \int_{-b}^0 \bar{\sigma}_u dy, \int_{b-b_{m,n}}^b \bar{\sigma}_u dy = \int_0^b \bar{\sigma}_u dy \quad \dots (4)$$

3. に述べた断面を用いて、 $R_s = 30.0 \text{ m}$ とし、スパン $L = R_s$ 重を種々変化させたときの有効幅を、式(3)より求めた結果を表-1 に示す。

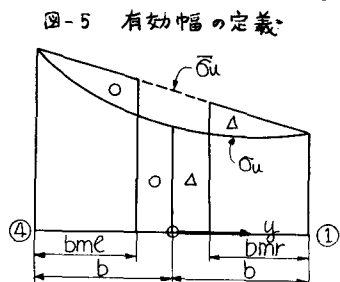


表-1 曲線げた中央断面における有効幅 b_m/b と L/b の関係

L/b	等分布荷重					集中荷重				
	4.0	8.0	12.0	16.0	20.0	4.0	8.0	12.0	16.0	20.0
直線げた	0.600	0.848	0.927	0.958	0.972	0.500	0.697	0.784	0.832	0.863
曲線げた	0.593	0.840	0.920	0.951	0.966	0.494	0.692	0.784	0.837	0.874
	0.601	0.846	0.923	0.953	0.968	0.501	0.701	0.791	0.844	0.880

5. むすび 表-1 に示したように曲線げた橋の有効幅は、曲率中心に対して外側のフランジのほうがめずかに小さいだけで、実用的には内側の値とほとんど等しいと言えよう。また、一方、直線げた橋の値とも大差ないので、曲線げた橋のスパンを $L = R_s$ 重と考へるならば、文献1)の値によって有効幅を定めてもよいように思われる。本研究を行なうに当り、色々御指導賜った阪大小松教授に感謝する次第である。

1)近藤、小松、中井“鋼床版橋の有効幅に関する研究”, 土学会論文集 86号

2)北田、中井“曲線げた橋の有効幅に関する基礎的研究”, 土学会関西支部昭.45.5.